

## 4.10 Object Enhanced Time Petri Net Capsules (OETPN-Cs)

They are kinds of components integrating OETPN models and other OETPN-C with particular features.

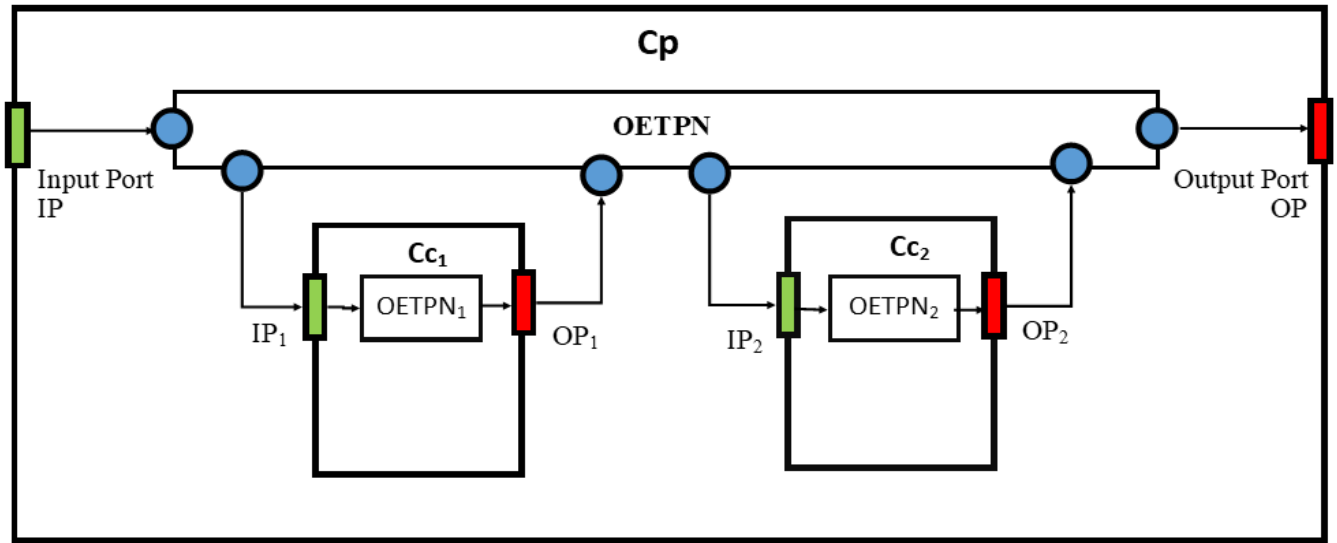
**Goal:** OETPN-Cs can be used for specification, design, verification and implementation of concentrated or distributed reactive software applications.

**Capabilities:** An OETPN-C can describe and implement asynchronous and synchronous reactions to external or internal events, using its concurrent tasks or another OETP-Cs that it integrates.

# OETPN-C Structure

An OETPN-C could have:

- ***Input ports*** for receiving synchronous or asynchronous information from sensors or another OETPN-C of the types:
  - *Float* in the domain [-1,1]
  - *Integers*
  - Objects of specified types.
  - The input ports can be synchronous or asynchronous storing synchronous information or asynchronous information.
- ***Output ports*** for sending synchronously or asynchronously information, to another OETPN-C or actuators, of the types:
  - *Float* in the domain [-1,1]
  - *Integers*
  - *Object* of the specified types.



- The output ports can be synchronous sending information at the ticks, or asynchronous sending further the information immediately.
- **OETPN** linked to Input ports, output ports and another OETPN-Cs that it integrates. It can contain:
  - Asynchronous tasks,
  - Synchronous tasks.
  - They can intercommunicate through inside places of different specified types.

The input ports can store synchronous information that requires the reaction at the OETPN-C ticks (generated by its own real-time clock), or asynchronous information that requires immediate reaction.

The integrated OETPN model could have two kinds of transitions: asynchronous ( $T_a$ ) and synchronous ( $T_s$ ).  $T = T_a \cup T_s$ . The asynchronous transitions can be executed in any moment of time when its input places fulfil the enabling conditions, unlike synchronous transitions that can be executed only at the ticks. The synchronous transitions can be delayed with integer delay  $\{0, 1, 2, \dots\}$ .

## Behavior

The OETPN-C behavior is implemented by the integrated OETPN model.

The OETPN model reacts synchronously or asynchronously to:

- An external event signaled through an input port (from capsule frontier or an integrated capsule). The event can be set in an asynchronous port or a synchronous one.
- A tick event of the capsule real-time clock.

The reaction to an asynchronous event is immediately processed by asynchronous transitions or by synchronous transitions at the ticks. When a new token is asynchronously injected in a place, only the asynchronous transactions are verified for enabling.

The reaction to synchronous events are performed by synchronous transitions at the ticks. When a new token is synchronously injected in a place, all kinds of transitions are verified for enabling.

As flowing,

OETPN-C executor algorithm:

Input:  $\text{Pre}, \text{Post}, M_0, P, T = T_a \cup T_s, D, \text{Grd\&Map}$ , Out,

$Inp = Inp_a \cup Inp_s$ ;

Initialization:  $M = M^0$ ,  $execList = \text{empty}$ ;

repeat

  wait(event);

**if** event is tick **then**

    \* decrease the Delays of the transitions in  $execList$ ;

    repeat

**for** all  $t_i \in T$  **do**

**if** there is met at least one  $grd$  in the  $t_i Grd_i$  list

        for  $M(p)$ ,  $p \in {}^o t_i$ , **then**

          \* move the tokens of  ${}^o t_i$  from  $M$  to  $M_t$ ;

          \* add  $t_i$  to  $execList$ ;

$Delay[t_i] = \delta(t_i)$ ;

**end if**;

**end for**;

**for** all  $t_i$  in  $execList$  **do**

**if** ( $Delay[t_i]$  is 0) **then**

          \* remove  $t_i$  from  $execList$ ;

          \* calculate the tokens for  $M$  in  $t_i^o$ ;

          \* remove the tokens from  $M_t$  for all  ${}^o t_i$ ;

          \* set the tokens in  $t_i^o$  and start the active tokens;

**end if**

**if**  $t_i^o \in Out$  **then**

          send(Out);

**end if**

**end for**

**until** there is no transition that can be executed;

**else**

    receive( $Inp_a$ );

    \* update  $M$ ;

    repeat

**for** all  $t_i \in T_a$  **do**

**if** there is met at least one  $grd$  in the  $t_i Grd_i$  list

        for  $M(p)$ ,  $p \in {}^o t_i$ , **then**

          \* remove the tokens of  ${}^o t_i$  from  $M$ ;

          \* calculate and add the tokens of  $t_i^o$  to  $M$ ;

**if**  $t_i^o \in Out$  **then**

            send(Out);

**end if**

**end if**;

**end for**;

**until** there is no transition in  $T_a$  that can be executed;

**end if**;

**until** the time horizon;

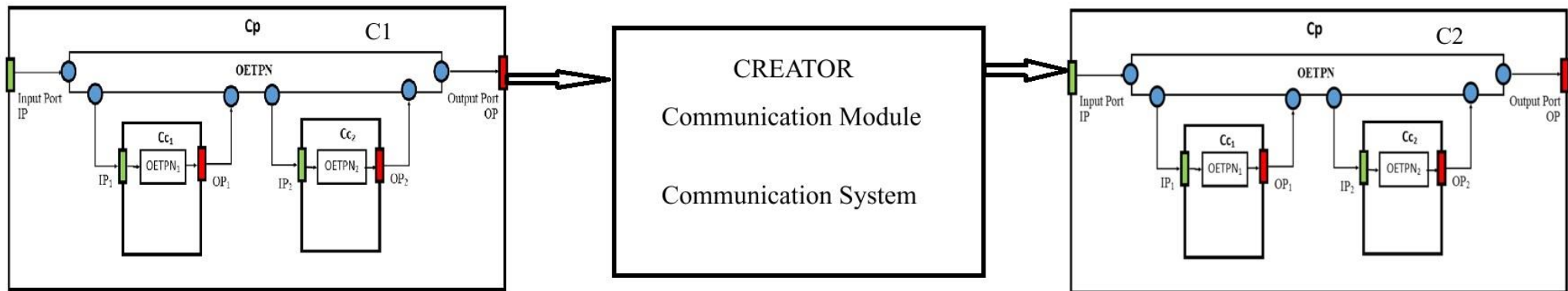
END algorithm;

# Implementation

Each OETPN-C is executed by its thread (OETPN-C executor). Each of its OETPN-C children is created by the parent and executed by a thread.

The inter OETPN-C communication at the same level is performed by capsules creators (OETPN-C parent, main thread) or the linked operation systems.

The methods *send(Out)* and *receive(Inp)* are used for this purpose.



## Exemples

Implement on a dual cores system:

- 0) Control of a first order system with a proportional controller.

Cc2: plant model:

$$x(k+1) = a \cdot x(k) + b \cdot u(k); y = x(k+1); x(0) = 0.1;$$

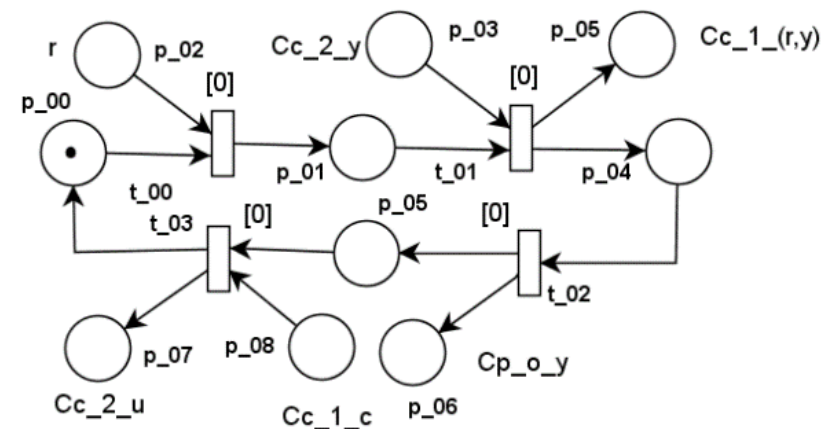
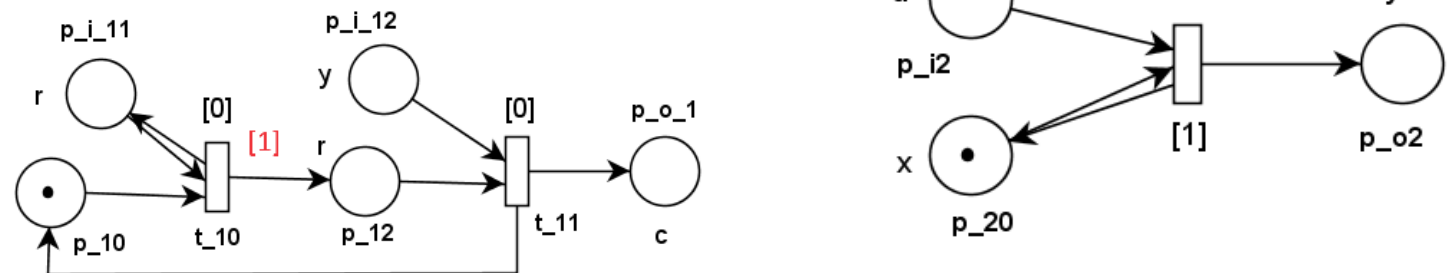
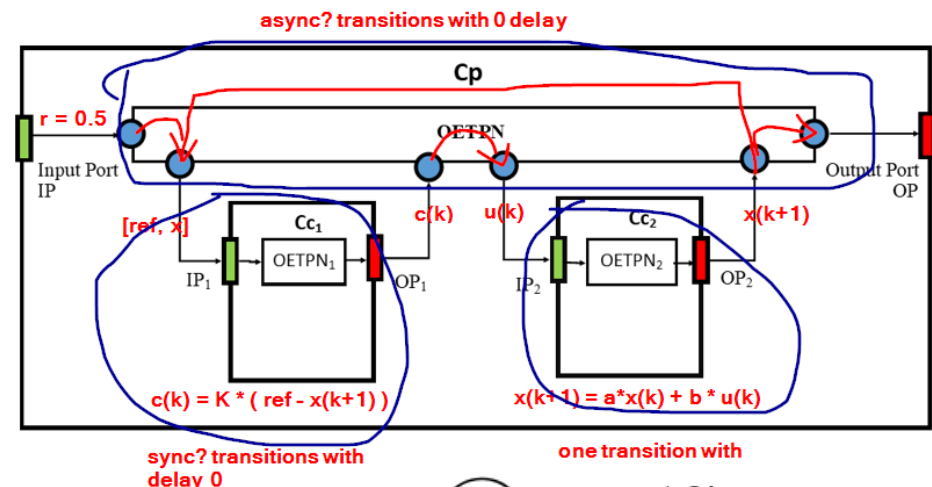
Cc1: Controller) model

$$c(k) = K \cdot (r(k) - y(k));$$

Cp: Model

Read  $r$  from operator and  $y$  from plant (Cc2).

Send to controller ( $r, y$ ). Display on screen ( $r, c$ ) or ( $r, c, y$ ). Get  $c$  from controller and apply  $c$  on Cc2 (plant) through input  $u$ .



## *Analiza temporală a exemplului 0*

Ritmul schimbării timpului este dat în exemplul curent doar de Cc2 *plant*. Cp și Cc1 se supun modificărilor date de temporizarea din plant Cc2. Cp se execută cu perioada 1 (u.t.) dacă se ignoră lipsă lui  $r$  în intrarea tranzitiei  $t_{\_00}$ .

Cp se poate concepe și să execute concurrent modificarea referinței cu controlul execuțiilor componentelor Cc1 și Cc2.

Cc2 (Plant) are o temporizare intrinsecă (naturală). Cc1 ar trebui să aibă propriul său ritm pe care să-l impună și pentru Cc2. Pentru aşa ceva ar trebui să se schimbe temporizarea tranzitiei  $t_{\_10}$  cu [1]. OETPN<sub>1</sub> și OETPN<sub>2</sub> nu sunt sincronizate deși ambele evoluează cu o perioadă de 1 u.t. (unitate de timp) dacă tranzitia  $t_{\_00}$  are și o condiție de gardă care ignoră lipsa jetonului  $r$  în p\_02.

1) Modelul unui controller multi-variabil. Cp primește două intrări de erori ( $e_1, e_2$ ) și generează la ieșire două semnale de control ( $c_1, c_2$ ). Cc<sub>1</sub> care realizează  $c_1 = F_1(e_1)$ , iar Cc<sub>2</sub> care realizează  $c_2 = F_2(e_2)$  lucrează în paralel. Duratele de calcul ale celor două funcții sunt  $d_1$  și respectiv  $d_2$ .

Varianta 1: Când ambele semnale sunt disponibile, Cp aplică la ieșire simultan comenzi ( $c_1, c_2$ ). Constrângerea temporală: comanda este aplicată la  $\max\{d_1, d_2\}$ .

Varianta 2: Dacă ambele semnale sunt disponibile, după o secundă de la încărcarea portului de intrare cu ( $e_1, e_2$ ) se generează la ieșire ( $c_1, c_2$ ). Condiții temporale:  $d_1 < 1$  secundă,  $d_2 < 1$  secundă.

2) Cp primește la intrare  $(e_1, e_2)$  și generează la ieșire  $c$ .  $Cc_1$  realizează  $c_1 = F_1(e_1)$ , iar  $Cc_2$  realizează  $c = F_2(e_2, c_1)$ . Prin urmare controlerile  $Cc_1$  și  $Cc_2$  lucrează în cascadă. Duratele de timp pentru  $F_1$  și  $F_2$  sunt cele de mai sus.

Varianta 1: Comanda se aplică imediat. Întârzierea temporală este:  $d_1 + d_2$ .

Varianta 2: Comanda se aplică după o secundă. Constrângerea temporală este:  $d_1 + d_2 < 1$  sec.

3) Cp primește la intrare  $(e_1, e_2)$  și generează la ieșire  $(c_1, c_2)$ .  $Cc_1$  realizează  $a_1 = F_1(e_1, e_2)$ , iar  $Cc_2$  realizează  $a_2 = F_2(e_2, c_1)$ . La ieșire se aplică  $c_1 = F_3(a_1, a_2)$  și  $c_2 = F_4(a_1, a_2)$ . Duratele pentru  $F_1, F_2, F_3$  și  $F_4$  sunt  $d_1, d_2, d_3$  și respectiv  $d_4$ .

Varianta 1: Comenzile se aplică imediat cu întârzierea:  $\max\{d_1, d_2\} + \max\{d_3, d_4\}$ .

Varianta 2: Comenzile se aplică după o secundă. Constrângerea temporală:  $\max\{d_1, d_2\} + \max\{d_3, d_4\} < 1$  sec.

4) Dacă variabilele (fie acestea  $x$  și  $y$ ) implicate sunt de tip sincron (deci au întârziere de cel puțin o unitate de timp), relația dintre ele este  $y(k+d) = F(x(k))$ .

5) Dacă variabilele implicate sunt de tip asincron (fără întârziere între ele) și valoarea ceasului de timp este  $k$ , relația dintre ele este  $y(k) = F(x(k))$ . Se presupune că evenimentul care a generat (modificat) valoarea lui  $x$  s-a produs într-un moment de timp între  $k$  și  $(k+1)$ .

6) Dacă variabila  $x$  este de tip asincron, iar variabile modificate  $y$  la momentul  $k$  este de tip sincron, relația dintre ele este  $y(k) = F(x)$  cu modificarea lui  $y$  în momentul producerii

evenimentului care generează (modifică pe)  $x$ . Se presupune că  $y$  are întârziere zero față de  $x$ , prin urmare timpul nu se modifică, deși valoare lui  $y$  se modifică.

**Problemă:** Discernerea precedenței dintre două evenimente de intrare asincrone care s-au produs între aceleași ticuri ale ceasului.

Se pot folosi 6 variabile  $x, x', y, y', z, v$ . Evenimentul de intrare  $e_1$  modifică valorile variabilelor  $x, x'$  și  $v$ . Producerea evenimentului  $e_1$  realizează  $(x, x') = F_1(x, e_1); (x, v) = F_3(x, y', e_1)$ . Producerea evenimentului  $e_2$  modifică variabilele  $y, y'$  și  $z$  realizând relațiile  $(y, y') = F_2(y, e_2); (y, z) = F_4(y, x', e_2)$ . Folosind valorile perechii  $(v, z)$  la momentul de timp  $(k+1)$  se poate discerne care a fost mai întâi  $e_1$  sau  $e_2$ .

## Variabile

Toate variabilele aplicației sunt de tip vector *Fuzzy Logic (FL)*. *Fuzzy Logic Set (FLS)*. El reprezintă în jeton.

$$FLS = \{NL, NM, ZR, PM, PL\}$$

Toate variabilele sunt în domeniul  $[-1, 1]$ . Se dau formule de scalare pentru intrări și ieșiri.

Jetonul (tip unar) de valoare „1” este un caz particular:  $I = [0, 0, 0, 0, 1]$ . Adică *Pozitiv Large* este 1.

Variabilele sunt modificate doare de mappingurile modelelor OETPN.

Mappingurile pot fi de tip *FLRS (Fuzzy Logic Rule Set)* combinate cu operații aritmetice de tip:  $+, -, :, \cdot$ .

Variabilele pot fi stocate în locații (engl.: places) sau în porturile de intrare sau de ieșire.

Variabilele pot fi modificate doar de tranzițiile modelelor OETPN.

*Propunere:* Variabilele de tip sincron să fie adnotate cu „1”, iar cele de tip asincron cu „0”. Semnificația este: reacția la o intrare sincronă este tratată de o tranziție care poate avea întârzierea diferită de zero. Reacția la o intrare asincronă cere o acțiune imediată (aperiodic), deci cu întârziere „0” unități de timp.

## Parametrii unei componente

Parametrii modelului OETPN sunt: numărul  $n$  al tranzițiilor, numărul  $m$  al locațiilor, matricele *Pre*, *Post*, vectorii *Inp*, *Out*, *Delay*, marcajele locațiilor din canalele de intrare care sunt sincrone sau asincrone și tranzițiile care sunt sincrone sau asincrone, precum și ponderile  $W_i$  ale tranzițiilor  $t_i$ . Mappingurile tranzițiilor sunt de asemenea parametrii.

Pentru FLETPN acestea sunt  $FLRS_i$ . Platforma curentă are mappinguri simplificate acceptând doar operații aritmetice și FLRs.

Parametrii componentelor pot fi setați offline de către *Operator 2* sau de către *Genotype Mapping* înaintea fiecărui nou test. Fiecare componentă are metode pentru setarea parametrilor.

## Simulator

Are porturi de intrare cu *Training Data* și *Genetic Algorithm*.

Are porturi de ieșire cu *Individuaal Evaluator*.

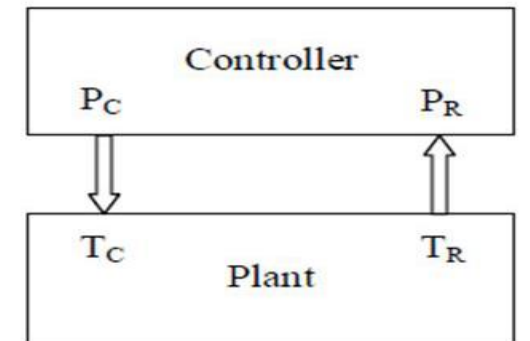
Alimentează cu variabile de intrare portul de intrare al componentei principale (numită *mainComponent*) folosind informațiile din *Training Data*.

Lansează execuția lui *Plant Model*. Furnizează datele de ieșire la *Individual Evaluator*.

T.S. Letia: Distributed Control Systems. Traffic control of autonomous vehicles

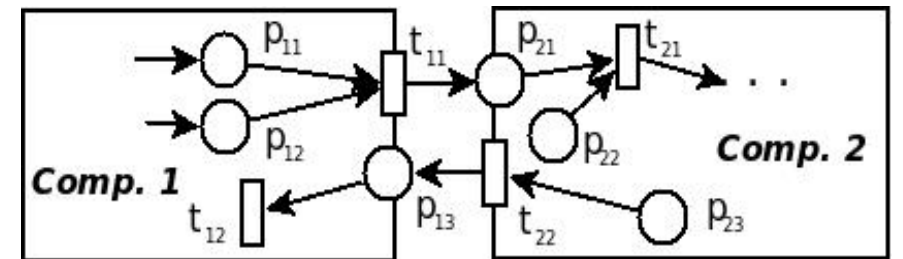
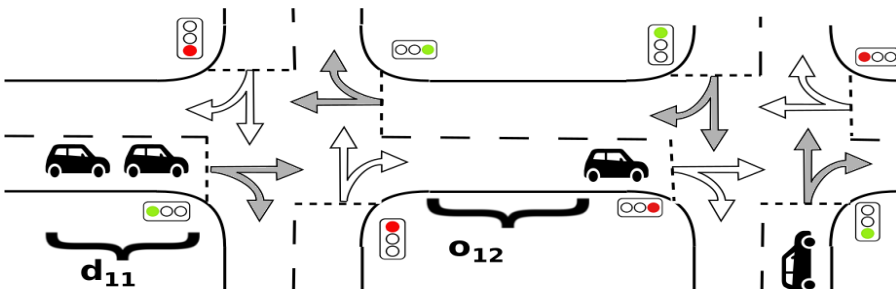
# Unified Enhanced Time Petri Nets

- To obtain models suitable for solving problems arising in hybrid control applications
- Models capable to describe the
  - reactions to
    - asynchronous events
    - continuous changing of some measured variables
  - fulfilling some temporal and performance requirements



Reactive programs → event-driven approach

Reactive systems → message-driven approach



# Requirements of reactive applications

Reactive applications      → local: event-driven  
                                → distributed: message-driven

Models capable to describe:

- Reaction to different event with different intensities
- Asynchronous reactions to continuous variables

Models capable to describe:

- The structure
- The concurrent dynamic behavior
- Reaction to internal and external events
- Selection based on internal or external results
- Synchronizations
- Temporal behavior with
  - Fixed and
  - Variable delays

- Scalable
- Resilient
- Elastic
- Responsive

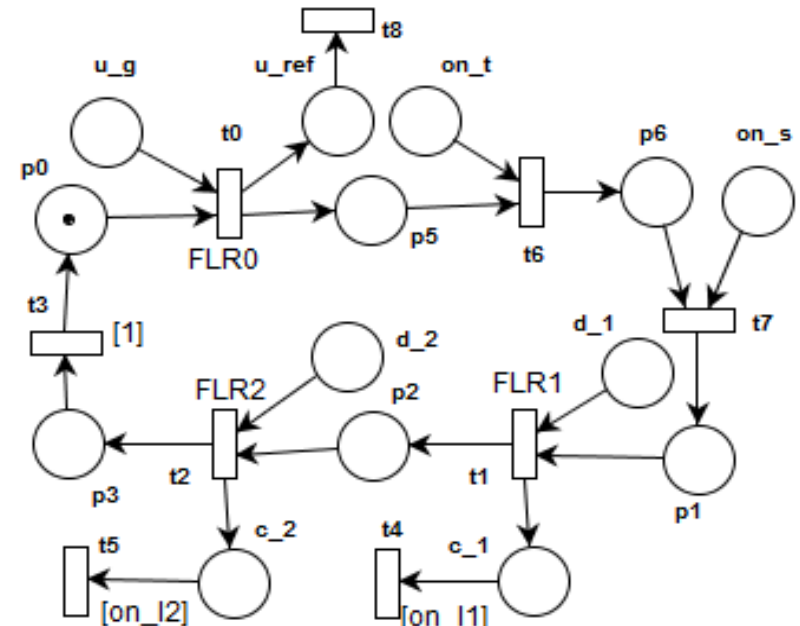
## **Justifications of UETPN:**

- 1) FLETPN models comfortably describe the conditions for transition enabling.
- 2) FLETPN models unify the description of different kinds of variables. They can describe real value numbers.
- 3) FLETPN models describe logic operations, but some applications need arithmetic operations: +, -, \* and /.
- 4) UETPN models combine the FLETPN features with arithmetic operations.
- 5) UETPNs can describe *time-discrete systems* and *discrete event systems* as well in the same model.
- 6) The operations maintain the variable values in the same domain [-1,1].

# Features of the development approach

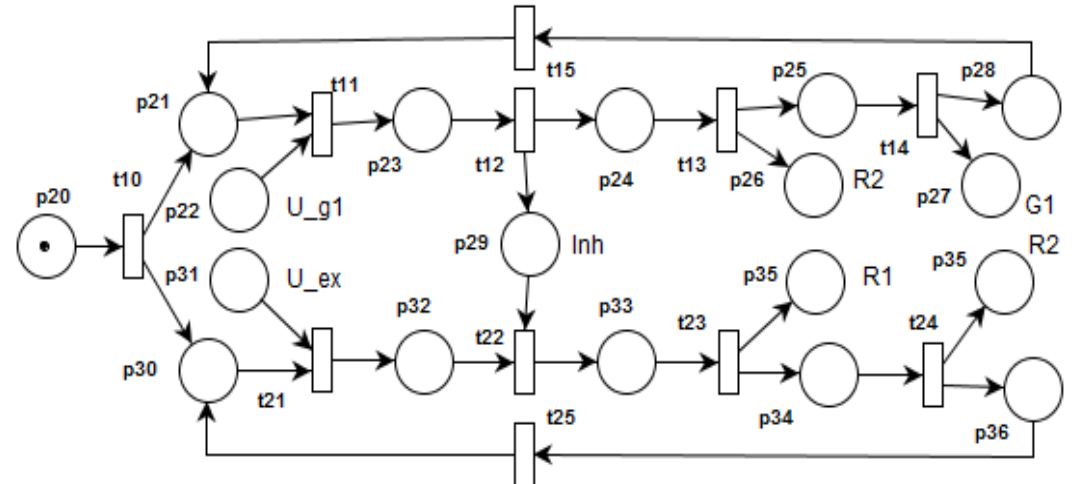
The current approach extends the classical Petri net models to become capable for:

- Handling continuous and fuzzy logic variables,
- Performing simple arithmetic operations,
- Control (split, join, select or block) the execution of sequences of events,
- Making decisions based on tokens set in the transition input set or the lack of them,
- Describing asynchronous and synchronous concurrent executions and
- Synchronizations of the dynamic behavior with external and internal events, or fixed and variable delays.



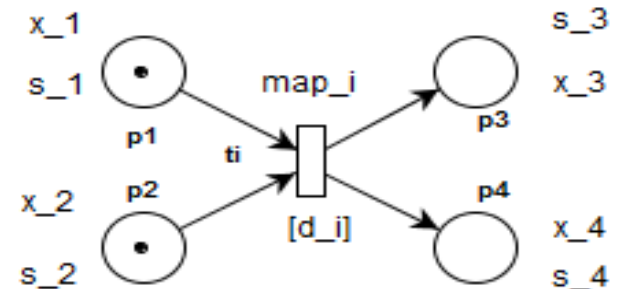
# Advantages of the UETPN models

- Single kind of place and transitions,
- Simple implementation
- Can be included into components
- Do not need conditional expression as thresholds
- Include features available in different kinds of Petri Nets (PNs)
  - Inhibitor arcs
  - Reset arcs
  - Variable delays
- Easy to be synthesized due to their simple structure



# UETPN Models

The current approach endows the previous FLETPN models with the capability to describe arithmetic operations with real numbers besides the logical operations and maintaining the previous features.



To achieve the UETPN models, the FLETPN models have been modified as follows:

- Each place  $p_k$  has assigned a real number variable  $x_k$ .
- Each variable  $x_k$  has a specified scale factor  $s_k$ . The domain of the variable is bounded to the continuous interval  $[-s_k, s_k]$ .
- A variable  $x_k$  can be involved in an arithmetic operation or a fuzzy logic operation.
- Each transition  $t_i$  has assigned a mapping  ${}^o t_i$  defining the operations between the input variables of the input place set  ${}^o t_i$  and the output variables of the output place set  $t_i^o$ :

# Related Petri Nets

- Standard Petri Nets
- Time Petri Nets
- Hybrid Petri Nets
- Fuzzy Logic Petri Nets
- *Fuzzy Logic Enhanced Time Petri Nets*
- **Unified Enhanced Time Petri Nets**

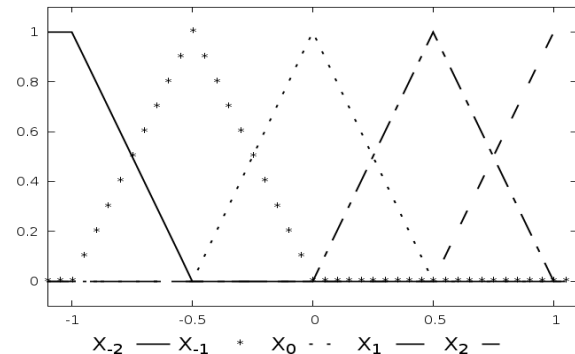
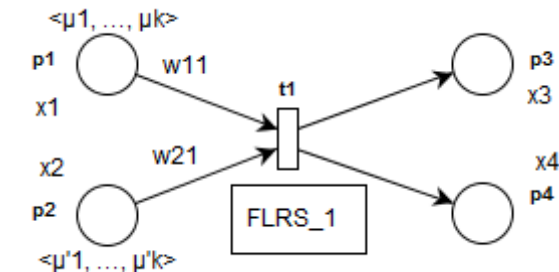
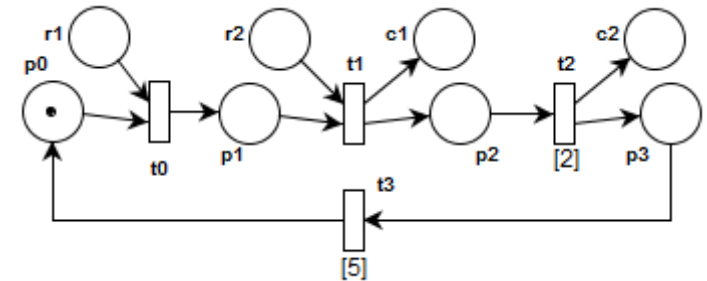
$$FS = \{X_{-2}, X_{-1}, X_0, X_1, X_2\}$$

$$EFS = \{X_{-2}, X_{-1}, X_0, X_1, X_2, \Phi\}$$

$$\mu = \langle \mu_{-2}, \mu_{-1}, \mu_0, \mu_1, \mu_2 \rangle$$

*IF* ( $x_1$  is  $X_{-2}$ ) & ( $x_2$  is  $X_0$ ) *THEN* ( $x_3$  is  $X_2$ ) AND ( $x_4$  is  $\Phi$ )

$x_k$  is  $\Phi \leftarrow$  it is not known the value of  $x_k$  at the current moment of time



$x_1/x_2$	$X_{-2}$	$X_{-1}$	$X_0$	$X_1$	$X_2$
$X_{-2}$	$X_{-2}, \phi$	$X_2, \phi$	$X_{-2}, X_2$	$X_0, X_2$	$X_2, X_2$
$X_{-1}$	$X_{-1}, \phi$	$X_2, \phi$	$X_2, X_2$	$X_1, X_2$	$X_{-2}, X_2$
$X_0$	$X_1, X_2$	$X_1, X_2$	$X_0, X_2$	$X_{-1}, X_2$	$X_1, X_2$
$X_1$	$X_0, X_2$	$X_1, X_2$	$X_{-2}, X_2$	$\phi, X_{-1}$	$\phi, X_1$
$X_2$	$X_{-2}, X_2$	$X_0, X_2$	$X_0, X_2$	$\phi, X_1$	$\phi, X_1$

## Definition of UETPN

$$UETPN = (P, T, pre, post, D, X, S, X^o, EFS, Map, \text{FLRS}, Inp, Out, \alpha, \beta, \delta, M)$$

$D = \{d_0, d_1, \dots, d_m\}$ , time delays;

$X = \{x_0, x_1, \dots, x_m\}$ ;  $x_k$  real number variable

$Map = \{map_0, map_1, \dots, map_n\}$

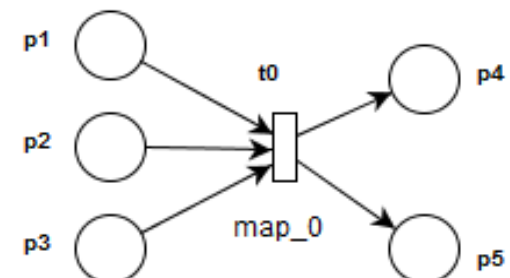
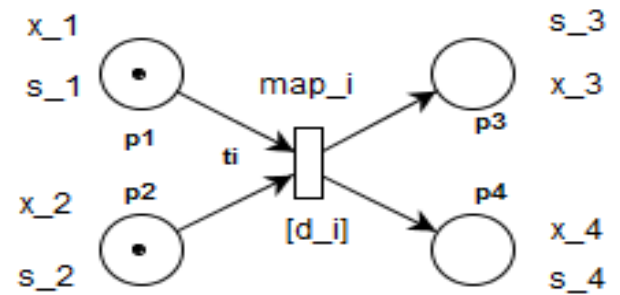
EFS: extended fuzzy set =  $\{X_{-2}, X_{-1}, X_0, X_1, X_2, \Phi\}$

FLRS: fuzzy logic rule set

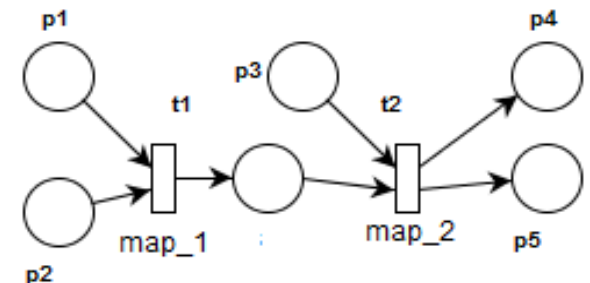
$$\begin{aligned} map_i : ([-s_1, s_1] \cup \phi) \times ([-s_2, s_2] \cup \phi) \rightarrow \\ ([-s_3, s_3] \cup \phi) \times ([-s_4, s_4] \cup \phi). \end{aligned}$$

$op = \{\wedge, +, -, *, /\}$

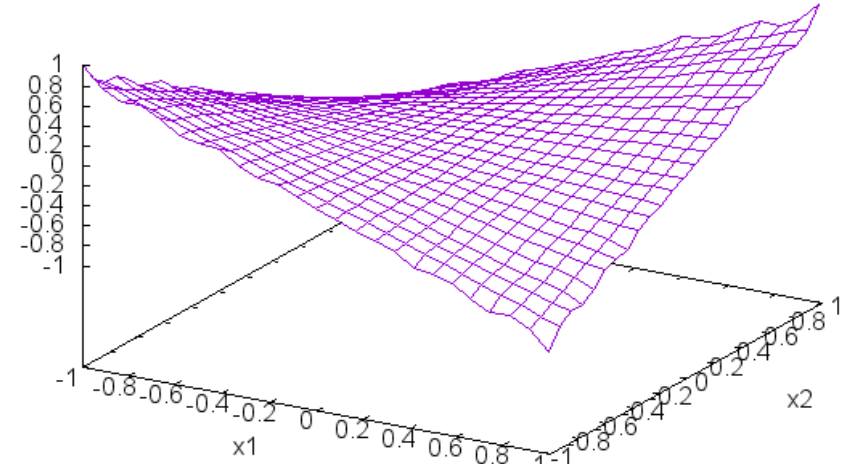
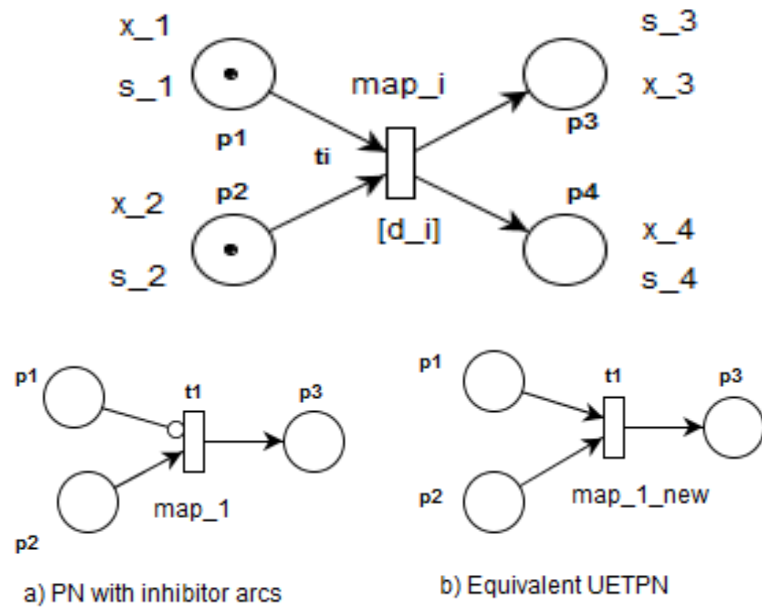
$x_1/x_2$	$X_{-2}$	$X_{-1}$	$X_0$	$X_1$	$X_2$
$X_{-2}$	$X_2, X_2$	$X_2, X_2$	$X_2, X_2$	$X_2, X_1$	$X_2, X_0$
$X_{-1}$	$X_2, X_2$	$X_2, X_2$	$X_2, X_1$	$X_2, X_0$	$X_2, X_{-1}$
$X_0$	$X_2, X_2$	$X_2, X_1$	$X_2, X_0$	$X_2, X_{-1}$	$X_2, X_{-2}$
$X_1$	$X_2, X_1$	$X_2, X_0$	$X_2, X_{-1}$	$X_2, X_{-2}$	$X_2, X_{-2}$
$X_2$	$X_2, X_0$	$X_2, X_{-1}$	$X_2, X_{-2}$	$X_2, X_{-2}$	$X_2, X_{-2}$
$\phi$	$\phi, \phi$	$\phi, \phi$	$X_2, \phi$	$\phi, X_0$	$\phi, \phi$



a) Required UETPN



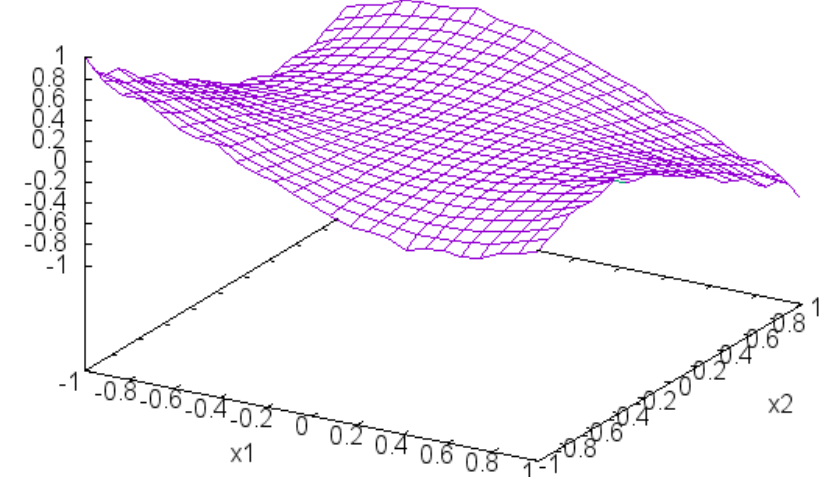
b) Developed UETPN



$$x_3 = \text{map}_i(x_1, x_2) = (x_1 \circ x_2) \star FL_{MT}(x_1, x_2)$$

where  $\circ$  is in  $op = \{\wedge, +, -, *, /\}$

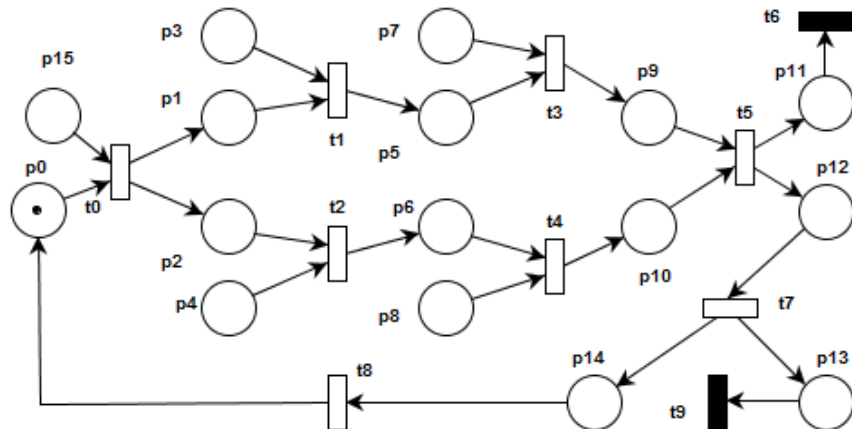
$x_1/x_2$	$X_{-2}$	$X_{-1}$	$X_0$	$X_1$	$X_2$
$X_{-2}$	$X_2, X_2$	$X_2, X_2$	$X_2, X_2$	$X_2, X_1$	$X_2, X_0$
$X_{-1}$	$X_2, X_2$	$X_2, X_2$	$X_2, X_1$	$X_2, X_0$	$X_2, X_{-1}$
$X_0$	$X_2, X_2$	$X_2, X_1$	$X_2, X_0$	$X_2, X_{-1}$	$X_2, X_{-2}$
$X_1$	$X_2, X_1$	$X_2, X_0$	$X_2, X_{-1}$	$X_2, X_{-2}$	$X_2, X_{-2}$
$X_2$	$X_2, X_0$	$X_2, X_{-1}$	$X_2, X_{-2}$	$X_2, X_{-2}$	$X_2, X_{-2}$
$\phi$	$\phi, \phi$	$\phi, \phi$	$X_2, \phi$	$\phi, X_0$	$\phi, \phi$



# Admissibility and simulation

Inference rules for  $t_5$  (optimized by GA)

$x_1/x_3$	$X_{-2}$	$X_{-1}$	$X_0$	$X_1$	$X_2$
$X_{-2}$	$X_1, X_0$	$X_{-2}, \phi$	$X_{-1}, \phi$	$\phi, X_1$	$X_2, X_{-1}$
$X_{-1}$	$X_2, X_{-1}$	$X_0, \phi$	$X_2, X_1$	$X_1, X_0$	$X_2, X_{-1}$
$X_0$	$X_1, X_{-2}$	$X_1, X_0$	$X_2, \phi$	$X_0, X_2$	$\phi, X_2$
$X_1$	$X_{-2}, X_2$	$X_2, X_{-2}$	$X_2, X_1$	$X_1, X_1$	$X_2, X_2$
$X_2$	$X_0, X_{-2}$	$\phi, X_{-2}$	$X_2, X_0$	$\phi, \phi$	$X_2, X_2$



A transition is *enabled* if and only if there is at least one rule in the mapping table that can be activated. If more than one rule can be activated, it is applied the *fuzzy inference procedure*.

# Analysis of UETPN models

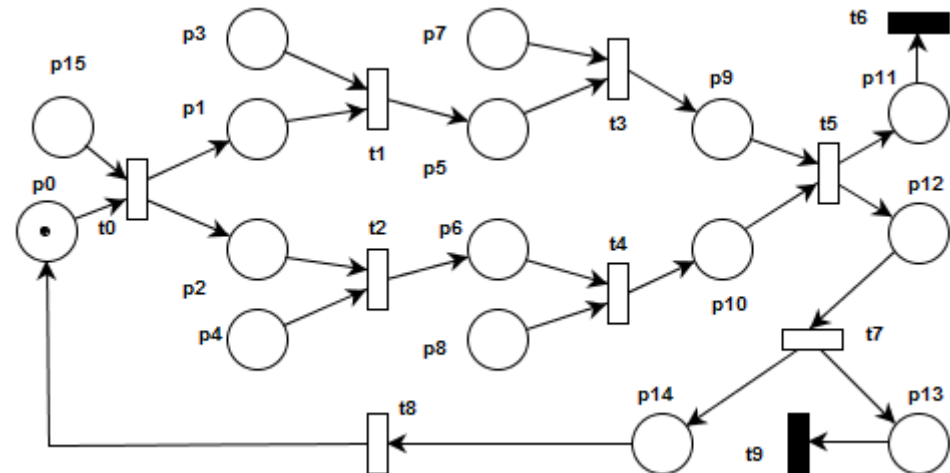
- Verification of the basic PN structure
- Verification of the temporal behavior
- Verification of functionality

## *Reachability graph of the classical PN*

Enhanced Time Petri Net based  
Language (ETPNL)

$$\sigma_2 = [t_0(x_{15}, \phi) * [(t_1(x_3, \phi) * t_3(x_7, \phi)) \& (t_2(x_4, \phi) * t_4(x_8, \phi))] * t_5(\phi, x_{11}) * t_7(\phi, x_{13})] \# t_8(\phi, \phi)$$

The mapping tables constraint the UETPN  
model behavior. They can implement thresholds.



Inference rules for  $t_5$  (optimized by GA)

$x_1/x_3$	$X_{-2}$	$X_{-1}$	$X_0$	$X_1$	$X_2$
$X_{-2}$	$X_1, X_0$	$X_{-2}, \phi$	$X_{-1}, \phi$	$\phi, X_1$	$X_2, X_{-1}$
$X_{-1}$	$X_2, X_{-1}$	$X_0, \phi$	$X_2, X_1$	$X_1, X_0$	$X_2, X_{-1}$
$X_0$	$X_1, X_{-2}$	$X_1, X_0$	$X_2, \phi$	$X_0, X_2$	$\phi, X_2$
$X_1$	$X_{-2}, X_2$	$X_2, X_{-2}$	$X_2, X_1$	$X_1, X_1$	$X_2, X_2$
$X_2$	$X_0, X_{-2}$	$\phi, X_{-2}$	$X_2, X_0$	$\phi, \phi$	$X_2, X_2$

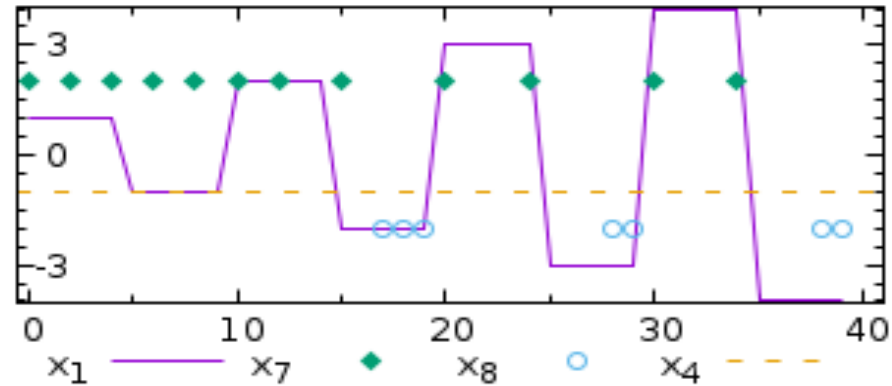
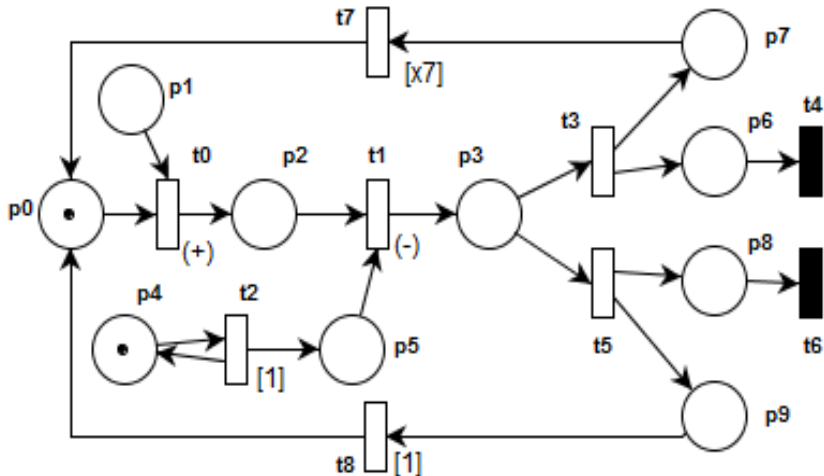
# **Homework: Integrate the UETPN models in OETPN-C.**

## **Questions:**

- Place types?
- Guards?
- Mappings?
- Input ports?
- Output ports?

# Example of utilization 1

## Conflict with variable delay



$$M^0 = [0, \varphi, \varphi, \varphi, -1, \varphi, \varphi, \varphi, \varphi]$$

Input signal in  $p_1$ : rectangular signal amplified at each 10 t.u.

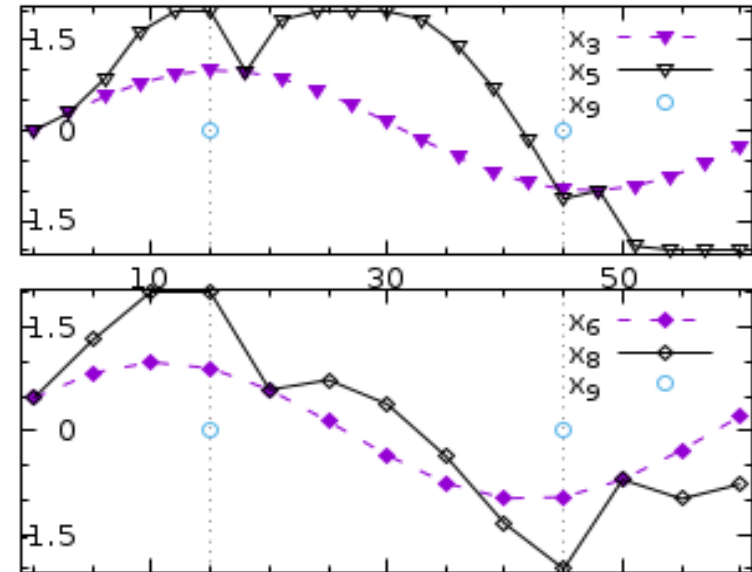
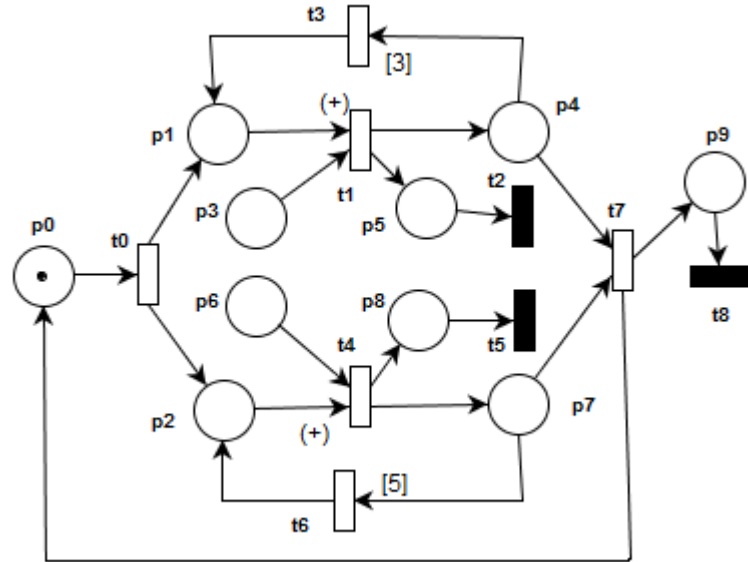
- $t_0 : x_2 = x_0 + x_1$
- $t_1 : x_3 = x_2 - x_5$
- $t_3$  is executed if  $x_3 > 0$
- $t_4$  is executed if  $x_3 < 0$

Joined MTs of the transitions  $t_3$  and  $t_5$

	$X_{-2}$	$X_{-1}$	$X_0$	$X_1$	$X_2$
$t_3$	$\phi, \phi$	$\phi, \phi$	$\phi, \phi$	$X_1, X_1$	$X_2, X_2$
$t_5$	$X_{-2}, X_{-2}$	$X_{-1}, X_{-1}$	$\phi, \phi$	$\phi, \phi$	$\phi, \phi$

## Example of utilization 2

### Two loops with different periods



$$M^0 = [0, \varphi, \varphi, \dots, \varphi]$$

$t_7$  is executed if:

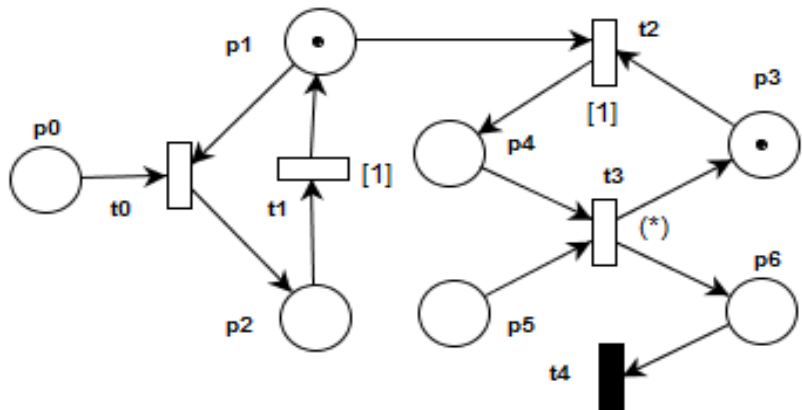
$$(x_4 > 1 \text{ and } x_5 > 1) \text{ or } (x_4 < -1 \text{ and } x_5 < -1).$$

Mapping table of transition  $t_7$

$x_4/x_7$	$X_{-2}$	$X_{-1}$	$X_0$	$X_1$	$X_2$
$X_{-2}$	$X_0, X_0$	$\phi, \phi$	$\phi, \phi$	$\phi, \phi$	$\phi, \phi$
$X_{-1}$	$\phi, \phi$				
$X_0$	$\phi, \phi$				
$X_1$	$\phi, \phi$				
$X_2$	$\phi, \phi$	$\phi, \phi$	$\phi, \phi$	$\phi, \phi$	$X_0, X_0$

# Example of utilization 3

## Inhibitor arc and bending of multiplication



Example 3. The mapping table for  $t_2$

$x_1/x_3$	$X_{-2}$	$X_{-1}$	$X_0$	$X_1$	$X_2$	$\phi$
$X_{-2}$	$\phi$	$\phi$	$\phi$	$\phi$	$\phi$	$\phi$
$X_{-1}$	$\phi$	$\phi$	$\phi$	$\phi$	$\phi$	$\phi$
$X_0$	$\phi$	$\phi$	$\phi$	$\phi$	$\phi$	$\phi$
$X_1$	$\phi$	$\phi$	$\phi$	$\phi$	$\phi$	$\phi$
$X_2$	$\phi$	$\phi$	$\phi$	$\phi$	$\phi$	$\phi$
$\phi$	$X_{-2}$	$X_{-1}$	$X_0$	$X_1$	$X_2$	$\phi$

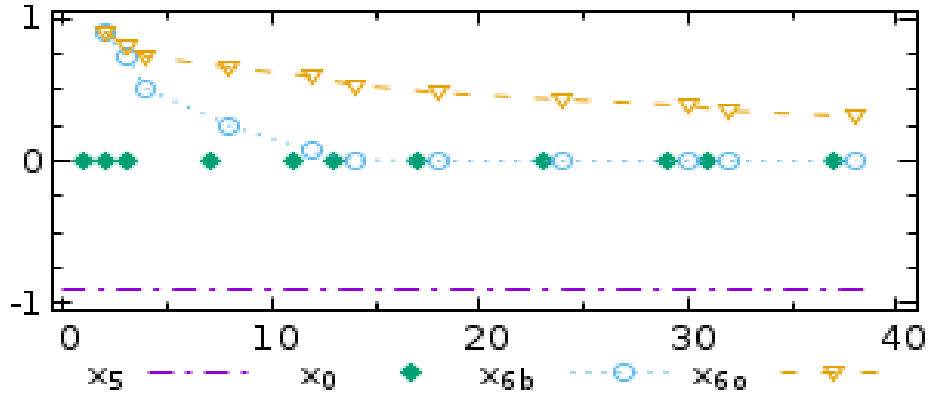


TABLE 4. Inference rules for third example T3

$x_1/x_3$	$X_{-2}$	$X_{-1}$	$X_0$	$X_1$	$X_2$
$X_{-2}$	$X_2, X_2$	$X_2, X_2$	$X_2, X_2$	$X_1, X_1$	$X_0, X_0$
$X_{-1}$	$X_2, X_2$	$X_2, X_2$	$X_1, X_1$	$X_0, X_0$	$X_{-1}, X_{-1}$
$X_0$	$X_2, X_2$	$X_1, X_1$	$X_0, X_0$	$X_{-1}, X_{-1}$	$X_{-2}, X_{-2}$
$X_1$	$X_1, X_1$	$X_0, X_0$	$X_{-1}, X_{-1}$	$X_{-2}, X_{-2}$	$X_{-2}, X_{-2}$
$X_2$	$X_0, X_0$	$X_{-1}, X_{-1}$	$X_{-2}, X_{-2}$	$X_{-2}, X_{-2}$	$X_{-2}, X_{-2}$

\*

\*\*\*\*\*

\*\*\*END\*\*\*

\*\*\*\*\*

\*